

II-443 模擬埋立カラムを用いた埋立層内汚水中の溶存カドミウムの挙動に関する研究(第2報)

北海道大学工学部 学員 土手 裕 正員 田中 信寿
正員 神山 桂一 山川 佳久

1. はじめに 廃棄物埋立層内のカドミウムの挙動を明らかにすることは、浸出水処理施設を計画・設計する上でも、地下水汚染を防止する上でも重要である。本報告では前報¹⁾の実験の継続結果と、ごみ充填層への空気の侵入を可能とした場合(カラムNo.5, 6)について前報と同様に行った実験の結果を報告する。

2. 実験方法 実験条件を表1に示す。

湿潤・準好気カラムの実験装置を図1に示す。

充填層の上下端が空気と接するようになっ

ている(海水浸漬・嫌気、湿潤・嫌気の実験装

置はそれぞれ前報の図1, 2参照)。湿潤・準

好気カラムの実験方法は前報で述べたもの

と同じである。各カラムとも1日に1度水

コレクターの水をカラム上部から循環させ、

1~3週間に1度1ℓ採水し、同量の模擬海水

または蒸留水を補充水として加えた。ただし各

カラムともサンプリング回数(以後S.N.と表す)

11~12にかけて約3ヶ月間採水停止期間がある。

また必要に応じて消化汚泥、カドミウム、グルコ

ースを加えた(図中の注釈を参照)。

3. 結果 実験の結果を図2~7に示す。

カラムNo.1~4のS.N.11までが前報で報告した結果

である。図中右下がりの破線は補充水を加えた

ことによる希釈効果を表しており、ある物質の

濃度プロット線の傾きが破線の傾きと等しけれ

ばその物質は希釈のみで減少し、それより右下

がりであれば減少反応が、そうでなければ生成

反応がそれぞれ卓越していることを意味してい

る。前報で、 S^{2-} の供給がSを含む蛋白質の分解と SO_4^{2-} 還元

によることを明らかにした。本報告でも NH_4^+-N (蛋白質分解

の指標となる)と SO_4^{2-} について着目しながら溶存Cdの挙動

について述べる。カラムNo.1では溶存CdはS.N.11~12で急

減し、S.N.16以降では不検出になっている。これはS.N.11

~23における NH_4^+-N 生成と、S.N.23以降における SO_4^{2-} 還元

から、 S^{2-} が継続的に供給されているためと考えられる。

カラムNo.3では、S.N.37以降に明らかに溶存Cdの溶出が認

められる。 NH_4^+-N 生成はS.N.25以降には無く、また SO_4^{2-} 還

元反応はみられないでの、 S^{2-} の供給は無い。一方、液中か

らの S^{2-} 除去もCd溶出の原因と考えられるが、その機構とし

てはカラムが嫌気的なので S^{2-} の酸化反応は考えられず、

カラム No	1	2	3	4	5	6
充填物	人工ごみ	焼却灰	人工ごみ	焼却灰	人工ごみ	焼却灰
放置条件	模擬海水に 浸漬・嫌気	模擬海水に 浸漬・嫌気	湿潤・ 嫌気	湿潤・ 嫌気	湿潤・ 準好気	湿潤・ 準好気
充填量(g)	1120	6420	1110	6300	1110	6280
總水量(l)	5.05	4.20	4.57	4.25	4.54	4.57
添加グルコース(g)	210	87.5	126	75	128	75
添加ボリペプトン(g)	130	52.5	78	45	78	45
添加カドミウム量(mg)	47.9	34.7	45.1	34.2	43.7	37.7
カドミウム初期濃度 (mg/l)	9.48	8.26	9.87	8.05	9.63	8.25

表1 実験条件

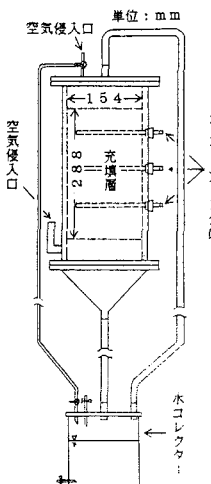


図1 実験装置(湿潤・準好気)

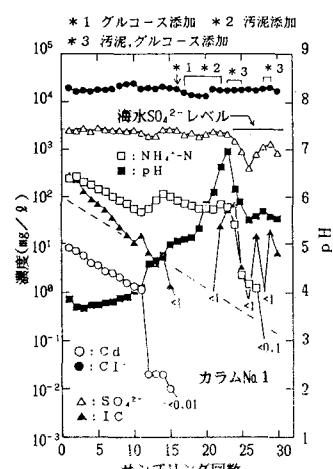


図2 実験結果(人工ごみ, 海水浸漬・嫌気)

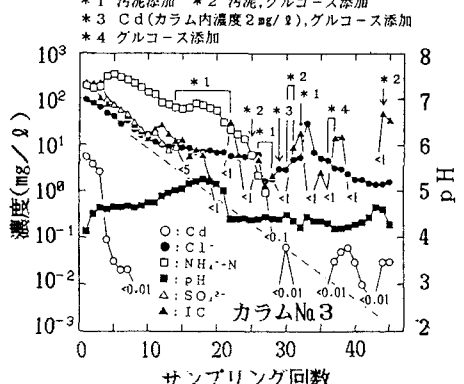


図3 実験結果(人工ごみ, 湿潤・嫌気)

S^{2-} のガス中への放散が予想される。カラムからのガス発生速度 R_g と Cd の溶出速度 R_{Cd} (R_{Cd} の計算は前報の式(1)による)の関係を図8に示す(図中の数字は例えれば37なら S.Na36 と 37 の間の反応速度を表す)。この図からガス発生速度が大きいときに Cd の溶出が生じており、上記の推定は妥当だと思われている。

カラム No.5 では SO_4^{2-} は終始希釈のみによって減少しているが、実験初期(~S.Na6)にカラム No.3 と同程度の NH_4^+ -N 生成がみられる。そのため S.Na6 まで溶存 Cd は減少反応がみられ激減する。しかし不検出には至らず、逆に S.Na8 以降 Cd の溶出を示しており、他のカラムとは異なる挙動を示している。これは、ごみ充填層の上下端が空気と接しているために S^{2-} が酸化されて水中の S^{2-} 濃度が減少するので、Cd が溶出してきたものと考えられる(カラム内部は嫌気的であった)。カラム No.6 では溶存 Cd は初期濃度が低く、かつ減少傾向を示し S.Na6 以降不検出となっている(S.Na30 以降検出されているのは Cd を加えたためである)。

SO_4^{2-} 還元は終始みられないが、S.Na11までは NH_4^+ -N 生成が認められ Cd の不溶化は後者によって生じていると思われる。しかし、これ以降は S^{2-} の供給源は無い。またカラム内の O_2 濃度が S.Na12 以降 10% 以上で好気的雰囲気であり、Cd が CdS の形で不溶化しているならばカラム No.5 と同様に溶出してくるはずである。以上からカラム No.6 では S^{2-} との反応以外の Cd の不溶化プロセスも存在していると推定される。

カラム No.2 では溶存 Cd は S.Na12 以降も不検出で、これは S.Na12 以降も SO_4^{2-} 還元によって常に S^{2-} が供給されているためと考えられる。

カラム No.4 では Cd が検出されたのは Cd を加えた直後のみである。これは NH_4^+ -N 生成は S.Na15 以降生じていないが、焼却灰からゆっくり溶出してくる SO_4^{2-} の還元によって S^{2-} が供給されるためと考えられる。

4. 結論 CdS としてごみ層内に保持された Cd が、 S^{2-} の供給がない場合に溶出してくる機構として、水中の S^{2-} の空気酸化と気相中への放散の二通りがあることが分かった。長期的に埋立地を考えると、 S^{2-} の供給もガスの発生もやがて停止し、最終的には空気が廃棄物層内に侵入してくることから、今後 Cd の溶出については空気による S^{2-} の酸化速度を明かにする必要がある。

引用文献 1) 土手, 田中, 神山; 第42回土木学会年講2-976 (1987)

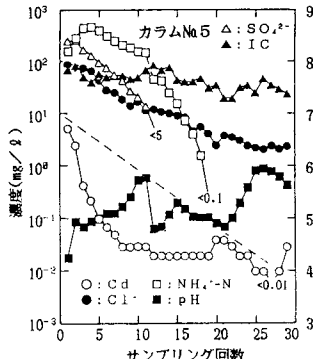


図4 実験結果(人工ごみ, 湿潤・準好気)

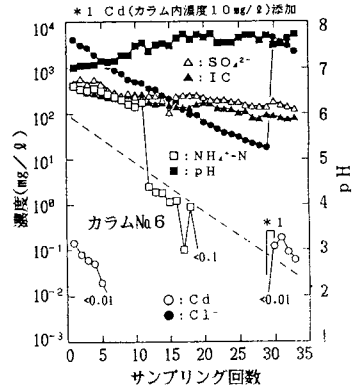


図5 実験結果(焼却灰, 湿潤・準好気)

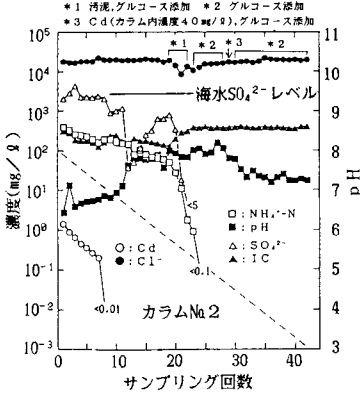


図6 実験結果(焼却灰, 海水浸漬・嫌気)

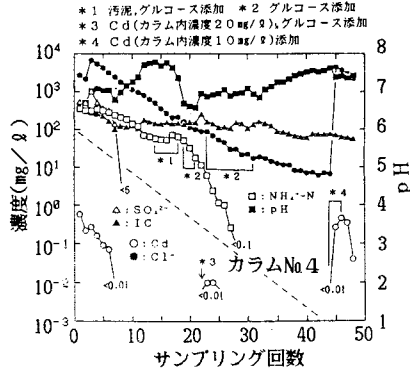
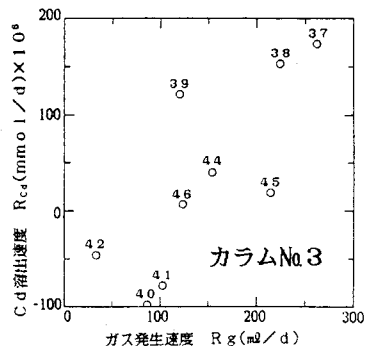


図7 実験結果(焼却灰, 湿潤・嫌気)

図8 ガス発生速度 R_g と Cd 溶出速度 R_{Cd} (人工ごみ, 湿潤・嫌気)